

# AEG Thyatron

S7,5/2,5d

**Triode mit Quecksilberdampfzuführung**

Mercury-vapour triode

Triode avec remplissage à vapeur de mercure

Triode con relleno de vapor de mercurio

**Glasausführung**

Glass type

Exécution verre

Tipo de vidrio

**Kathode**

Cathode

Cathode

Cátodo

**direkt geheizt**

directly heated

à chauffage direct

caldeado directamente

**Montageanordnung: senkrecht mit dem Sockel nach unten**

Mounting Position: Vertical, base down

Disposition de montage: verticale avec socle dirigé vers le bas

Para montaje: vertical con portaválvula hacia abajo

**Gewicht**

Approx. net weight

Poids

Peso

0,3 kg

0,66 lbs

**a** = Anode

Anode

Anode

Anodo

**g** = Steuergitter

Control grid

Grille de réglage

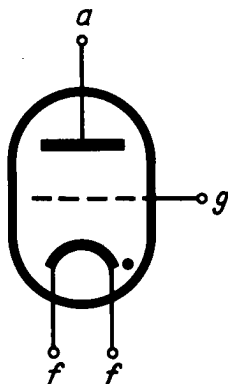
Rejilla de mando

**f** = Heizung

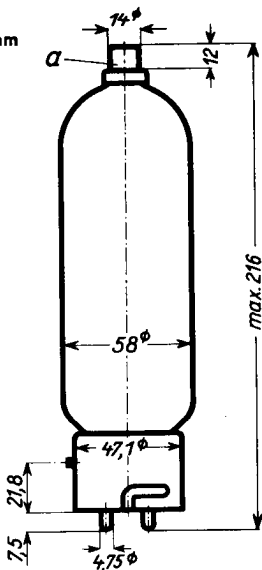
Filament

Filament

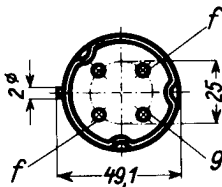
Filamento



Abmessungen }  
 Dimensions } mm  
 Dimensiones }



Sockelansicht von unten  
 Bottom view of socket  
 Socle vu du bas  
 Portaválvula vista desde abajo



**Freie Kontakte der Fassung dürfen nicht als Stützpunkte für Schaltmittel benutzt werden.**

Free socket contacts must not be used for supporting any circuitry.

Les contacts libres de la douille ne doivent pas servir de points d'appui pour l'appareillage de connexion.

Los contactos libres de los portalámparas no deben ser empleados como puntos de apoyo para elementos de conexión.

## Technische Werte Technical data Caractéristiques techniques Datos técnicos

<b>Heizspannung</b> Filament voltage Tension de chauffage Tensión de caldeo	}	$U_f$ 5 V
<b>Heizstrom</b> Filament current Courant de chauffage Corriente de caldeo		ca. abt. env. aprox. } $J_f$ 10 A
<b>Toleranz der Heizspannung</b> Max. permissible filament voltage fluctuations Fluctuation admissible de la tension de chauffage Tolerancia de la tensión de caldeo	}	max. $\pm$ 5%
<b>Anheizzeit</b> Cathode-heating time Durée de chauffage Tiempo de precaldeo		} $t_f$ min. 300 sec.
<b>Anodenspannung (Scheitelwert)</b> Anode voltage (crest value) Tension anodique (valeur de crête) Tensión anódica (valor cresta)	}	$U_a$ max. 10 kV
<b>Sperrspannung (Scheitelwert)</b> Inverse voltage (crest value) Tension d'arrêt (valeur de crête) Tensión de bloqueo (valor cresta)		} $U_{inv.}$ max. 10 kV
<b>Anodenstrom (Scheitelwert)</b> Anode current (crest value) Courant anodique (valeur de crête) Corriente anódica (valor cresta)	}	$J$ max. 5 A
<b>Anodenstrom (Mittelwert)</b> Anode current (average) Courant anodique (valeur moyenne) Corriente anódica (valor medio)		} $J_a$ max. 1,25 A
<b>Steuergitterspannung bei gesperrter Röhre (Scheitelwert)</b> Negative control grid bias of non-conducting tube (crest value) Tension de grille régulatrice pour tube non allumé (valeur de crête) Tensión de rejilla de mando con válvula no encendida (valor cresta)	}	$U_g$ max. - 320 V

**Steuergitterstrom (Scheitelwert)**

Control grid current (crest value)

Courant de grille (valeur de crête)

Corriente de rejilla (valor cresta)

$$\left. \begin{array}{l} \text{Control grid current (crest value)} \\ \text{Courant de grille (valeur de crête)} \\ \text{Corriente de rejilla (valor cresta)} \end{array} \right\} \hat{I}_g \text{ max. } 0,15 \text{ A}$$

**Steuergitterstrom (Mittelwert)**

Control grid current (average)

Courant de grille (valeur moyenne)

Corriente de rejilla (valor medio)

$$\left. \begin{array}{l} \text{Control grid current (average)} \\ \text{Courant de grille (valeur moyenne)} \\ \text{Corriente de rejilla (valor medio)} \end{array} \right\} I_g \text{ max. } 0,03 \text{ A}$$

**Gitterwiderstand**

Max. grid resistance

Résistance de grille

Resistencia de rejilla

$$\left. \begin{array}{l} \text{Max. grid resistance} \\ \text{Résistance de grille} \\ \text{Resistencia de rejilla} \end{array} \right\} R_g \text{ max. } 100 \text{ k } \Omega$$

**Spannungsabfall an der gezündeten Röhre**

Arc drop

Chute de tension

Caída de tensión

$$\left. \begin{array}{l} \text{Arc drop} \\ \text{Chute de tension} \\ \text{Caída de tensión} \end{array} \right\} U_B \quad 15 \text{ V}$$

**Integrationszeit**

Integration time

Temps d'intégration

Tiempo de integración

$$\left. \begin{array}{l} \text{Integration time} \\ \text{Temps d'intégration} \\ \text{Tiempo de integración} \end{array} \right\} \tau \text{ max. } 15 \text{ sec.}$$

**Jonisationszeit**

Ionisation time

Temps d'ionisation

Tiempo de ionización

$$\left. \begin{array}{l} \text{Ionisation time} \\ \text{Temps d'ionisation} \\ \text{Tiempo de ionización} \end{array} \right\} t_i \quad 10 \mu \text{ sec.}$$

**Freiwerdzeit**

Recovery time

Temps de recouvrement

Tiempo de recobro

bei  
at  
à  
en

$$U_g = - 10 \text{ V}$$

$$U_g = - 100 \text{ V}$$

$$t_r \quad 300 \mu \text{ sec.}$$

$$t_r \quad 60 \mu \text{ sec.}$$

**Gitteranoden-Kapazität**

Grid-anode capacity

Capacité d'anode de grille

Capacidad del ánodo de rejilla

$$\left. \begin{array}{l} \text{Grid-anode capacity} \\ \text{Capacité d'anode de grille} \\ \text{Capacidad del ánodo de rejilla} \end{array} \right\} C_{ag} \quad 6 \text{ pF} \\ (\mu\mu\text{F})$$

**Eingangs-Kapazität**

Grid-filament capacity

Capacité a'entrée

Capacidad rejilla filamento

$$\left. \begin{array}{l} \text{Grid-filament capacity} \\ \text{Capacité a'entrée} \\ \text{Capacidad rejilla filamento} \end{array} \right\} C_g \quad 9 \text{ pF} \\ (\mu\mu\text{F})$$

**Ausgangs-Kapazität**

Anode-filament capacity

Capacité de sortie

Capacidad ánodo-filamento

$$\left. \begin{array}{l} \text{Anode-filament capacity} \\ \text{Capacité de sortie} \\ \text{Capacidad ánodo-filamento} \end{array} \right\} C_a \quad 0,05 \text{ pF} \\ (\mu\mu\text{F})$$

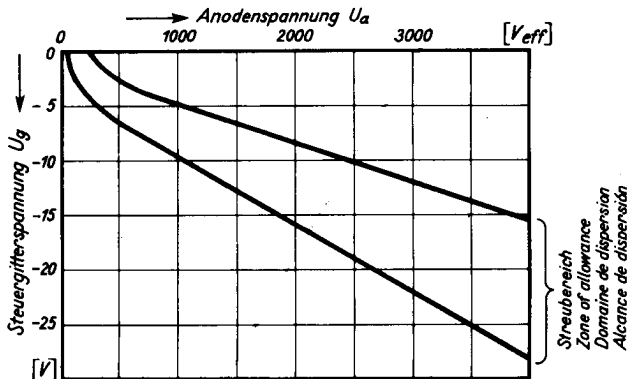
**Umgebungstemperatur**

Ambient temperature

Température ambiante

Temperatura de ambiente

$$\left. \begin{array}{l} \text{Ambient temperature} \\ \text{Température ambiante} \\ \text{Temperatura de ambiente} \end{array} \right\} \begin{array}{l} \text{min. } +15^\circ \text{ C} \\ \text{max. } +35^\circ \text{ C} \end{array}$$



Zündkennlinienbereich bei einer großen Zahl von Röhren gemessen. Zündkennlinie stellt Steuergitterspannung  $U_g$  in Abhängigkeit von der Anodenwechselspannung  $U_a$  (Effektivwert) am Zündpunkt dar.

Band of ignition characteristics as determined from measurements of a multitude of tubes.

Breakdown characteristic presents grid potential  $U_g$  as function of anode voltage (effective)  $U_a$  at firing point.

Domaine des caractéristiques d'allumage d'eterminé sur un grand nombre de tubes. La caractéristique d'allumage représente la tension de grille  $U_g$  en fonction de la tension alternative anodique (valeur effective) au point d'allumage.

Alcance de las características de ignición determinado en gran número de válvulas medidas.

La característica de ignición representa la tensión de rejilla de mando  $U_g$  en dependencia de la tensión alterna anódica  $U_a$  (valor eficaz) en el punto de ignición.